

DOI: 10.53078/20778481\_2023\_3\_26

УДК 539.4: 666.3

**И. М. КУЗМЕНКО**, канд. техн. наук, доц.**В. А. ПОПКОВСКИЙ**, канд. техн. наук, доц.**А. Д. КРИЖЕВСКИЙ**

Белорусско-Российский университет (Могилев, Беларусь)

**СОПРОТИВЛЕНИЕ РАЗРУШЕНИЮ КОНСОЛЬНОЙ БАЛКИ С КРАЕВОЙ ТРЕЩИНОЙ НА ПОВЕРХНОСТИ****Аннотация**

Представлен анализ сопротивления разрушению консольной балки с трещиной, расположенной вблизи заделки. На основе методов механики разрушения определены критические параметры, характеризующие особенности разрушения балки при различных температурах.

**Ключевые слова:**

трещина, критические напряжения, коэффициент интенсивности напряжений, эффективная длина трещины, конечно-элементная модель.

**Для цитирования:**

Кузменко, И. М. Сопротивление разрушению консольной балки с краевой трещиной на поверхности / И. М. Кузменко, В. А. Попковский, А. Д. Крижевский // Вестник Белорусско-Российского университета. – 2023. – № 3 (80). – С. 26–34.

**Введение**

Основным конструктивным несущим элементом большинства строительных конструкций являются балки с различным поперечным сечением. Одним из часто встречающихся дефектов являются трещины на поверхности различного происхождения.

Механические свойства материала балки и условия ее эксплуатации в значительной степени сказываются на характере разрушения и значениях коэффициента интенсивности напряжений (КИН) и эффективной длины распространяющейся трещины.

Рассмотрена консольная балка прямоугольного поперечного сечения высотой  $B$  и основанием  $t$ , которая нагружена на конце консоли силой  $F$  (рис. 1). Длина балки  $L$ . Материал балки – низколегированная сталь 15ХСНД.

В результате обследования на расстоянии  $a$  от заделки обнаружена краевая трещина длиной  $l$ .

Балка работает на поперечный из-

гиб. Длина балки  $L$  значительно больше ширины сечения  $t$ , поэтому действием поперечных сил и, соответственно, касательных напряжений пренебрегаем. Используем известные из классического курса «Сопротивление материалов» расчетные зависимости. Из условия прочности по нормальным напряжениям при изгибе для прямоугольного сечения

$$\sigma_{\max} = \frac{6 \cdot F \cdot L}{t \cdot B^2}. \quad (1)$$

Балка выполнена из пластичного материала – низколегированной стали 15ХСНД [5, табл. 2.1, с. 103], имеющей механические характеристики (табл. 1).

Расчет коэффициента интенсивности напряжений (КИН) ведется на основе известной формулы Гриффитса [1–6] с учетом поправочной функции  $f_K$ :

$$K = \sigma \sqrt{\pi l} \cdot f_K, \quad (2)$$

где  $l$  – длина краевой трещины;  $\sigma$  – величина приложенного в сечении нор-

мального напряжения.

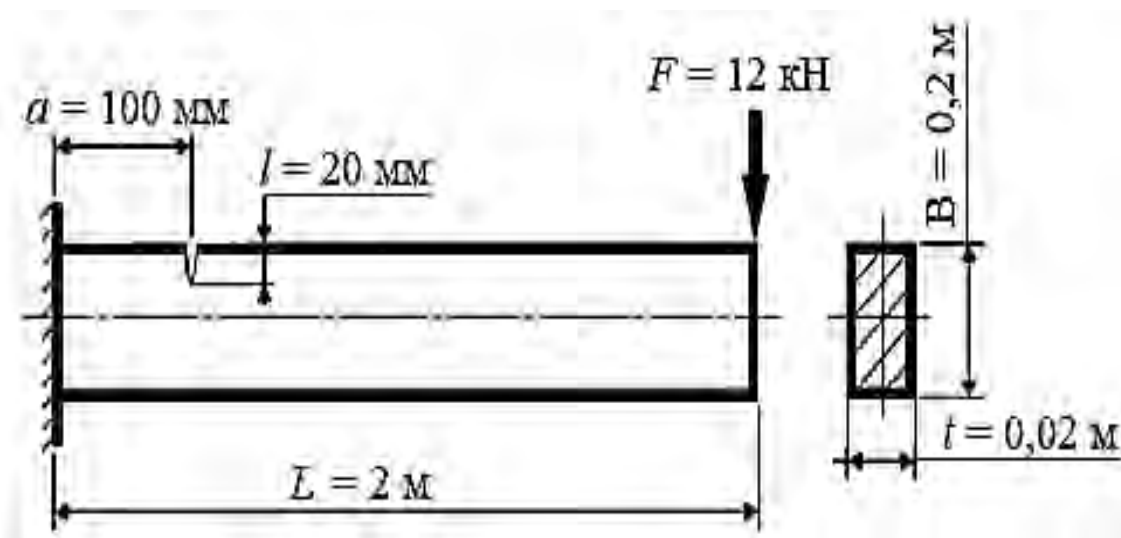


Рис. 1. Консольная балка прямоугольного сечения с краевой трещиной вблизи заделки

Табл. 1. Механические характеристики низколегированной стали 15ХСНД

Температура испытания, К	Условный предел текучести $\sigma_{0,2}$ , МПа	Предел прочности $\sigma_B$ , МПа	Относительное удлинение, %	Относительное сужение, %	Ударная вязкость, $10^2$ кДж/м <sup>2</sup>	Критический КИН $K_{IC}$ , МПа $\sqrt{м}$
293	320	510	33	68	9...15	45
253	340	550	34	65	6...11	59
233	350	570	35	64,6	3...5	66

Если длина трещины мала по сравнению с высотой сечения балки, то такая трещина является трещиной нормального отрыва [1]:  $l = 0,02 \text{ м} \ll B = 0,2 \text{ м}$ .

Значения поправочной функции определяются или непосредственно по таблицам в зависимости от относительной глубины трещины  $\lambda = l / B$ , или расчетом по приближенной формуле:

$$f_K = c_0 + c_1 l + c_2 l^2 + c_3 l^3 + \dots + c_n l^n, \quad (3)$$

где  $c_0, c_1, \dots, c_n$  – коэффициенты [1].

Образование зоны пластических

деформаций вблизи трещины (при квазихрупком разрушении) приводит к увеличению ее длины по сравнению со случаем упругих деформаций. При определении эффективной длины трещины учитывается протяженность зоны пластического деформирования вблизи вершины этой трещины.

Расчет КИН и критической длины трещины с учетом длины зоны пластической деформации трещины  $l_{пл.д.}$  (по Ирвину и Оровану) или, что то же, по эффективной длине  $l_{эфф.}$  (рис. 2):

$$l_{эфф.} = l \left( 1 + 0,5 \left( \frac{\sigma_{тр.}}{\sigma_{0,2}} \right)^2 \right). \quad (4)$$



Рис. 2. К определению эффективной длины трещины

### Основная часть

Выполним проверку прочности балки при отсутствии трещины и определим, насколько опасна выявленная трещина в различных температурных условиях.

1. Проведем проверку прочности балки при отсутствии трещины для заданных исходных данных, при температуре эксплуатации  $T = +20\text{ }^{\circ}\text{C}$  и величине допускаемого напряжения стали  $[\sigma] = 250\text{ МПа}$ .

2. Определим, насколько опасна выявленная трещина.

2.1. При нормальной температуре эксплуатации балки ( $T = +20\text{ }^{\circ}\text{C}$ ).

2.2. При понижении температуры до  $T = -20\text{ }^{\circ}\text{C}$ .

3. Проведем расчет балки на основе метода конечных элементов.

Порядок выполнения.

1. Проверка прочности балки при отсутствии трещины.

Проверка прочности осуществля-

ется для опасного сечения балки, в котором изгибающий момент будет максимальным (в заделке, где  $M_{\max} = FL$ ). Максимальные нормальные напряжения  $\sigma_{\max}$  действуют в слоях, наиболее удаленных от нейтрального слоя (оси  $X$ ). В соответствии с (1)

$$\sigma_{\max} = \frac{6 \cdot 12 \cdot 10^3 \cdot 2}{0,02 \cdot 0,2^2} = 180\text{ МПа}.$$

Прочность балки обеспечена:  $180\text{ МПа} < 250\text{ МПа}$ .

2. Определяем уровень опасности выявленной трещины.

Проверяем выполнение требований к геометрическим размерам:  $L = 2\text{ м} \gg B = 0,2\text{ м}$ ;  $B = 0,2\text{ м} > 5t = 0,1\text{ м}$ ;  $L = 2\text{ м} > 10t = 0,2\text{ м}$ . Требования соблюдаются.

Таким образом, данная балка может рассматриваться как полоса ограниченных по высоте размеров с краевой трещиной, нагруженная нормальными напряжениями от изгиба.

2.1. Выясняем, насколько опасна трещина при нормальной температуре эксплуатации балки ( $T = +20$  °С). Определяем величину коэффициента интенсивности напряжений (КИН) и критическую длину трещины.

По условию данной задачи

$$\lambda = \frac{l}{B} = \frac{20 \cdot 10^{-3}}{0,2} = 0,1.$$

Для полосы ограниченных размеров с краевой трещиной нормального отрыва [6, П 2, с. 388] при значениях  $\lambda \leq 0,7$  поправочная функция в соответствии с (3) равна

$$f_{IK} = 1,12 - 1,39 \lambda + 7,3 \lambda^2 - 13,0 \lambda^3 + 14,0 \lambda^4;$$

$$f_{IK} = 1,12 - 1,39 \cdot 0,1 + 7,3 \cdot 0,1^2 - 13,0 \cdot 0,1^3 + 14,0 \cdot 0,1^4 = 1,04.$$

По формуле (2) определяем значение коэффициента интенсивности напряжений (подставляя максимальное значение напряжения для сечения, в котором расположена трещина) и сравниваем его со значением критического КИН (вязкости разрушения)  $K_{IC}$ .

Значение максимального напряжения рассчитываем по формуле (1), определив максимальный изгибающий момент в сечении, где расположена трещина (см. рис. 1). При этом высота поперечного сечения уменьшилась на значение длины трещины  $l$ , т. е. вместо высоты сечения  $B$  в формулу (1) подставляем  $(B - l)$ :

$$M_{\max}^{mp.} = F \cdot (L - a);$$

$$\begin{aligned} \sigma_{\max}^{mp.} &= \frac{6 \cdot F \cdot (L - a)}{t \cdot (B - l)} = \\ &= \frac{6 \cdot 12 \cdot 10^3 \cdot (2 - 100 \cdot 10^{-3})}{0,02 \cdot (0,2 - 20 \cdot 10^{-3})^2} = 211,1 \text{ МПа}. \end{aligned}$$

Следует отметить, что при определении максимальных напряжений не учитывалось увеличение этих напряжений за счет влияния достаточно «острого» концентратора (в вершине трещины).

Отношение значений напряжений указывает на хрупкое разрушение [1]:

$$\frac{\sigma_{\max}^{mp.}}{\sigma_{0,2}} = \frac{211,1}{320} = 0,66 < 0,70,$$

поэтому КИН определяем по формуле Гриффитса.

Значения критического КИН  $K_{IC}$  и условного предела текучести  $\sigma_{0,2}$  определяем по табл. 1 для температуры плюс 20 °С.

В вершине трещины имеем плоское деформированное состояние, т. к.

$$\begin{aligned} \left( \frac{K_{IC}}{\sigma_{0,2}} \right)^2 &= \left( \frac{45}{320} \right)^2 = \\ &= 0,0198 \text{ м} < t = 0,02 \text{ м}. \end{aligned}$$

Поэтому в формулу для расчета коэффициента интенсивности напряжений  $K_I$  вводим множитель  $(1 - \nu^2)$ , где  $\nu$  – коэффициент Пуассона (для стали 15ХСНД примем  $\nu = 0,26$ ).

Тогда для условия нашей задачи

$$\begin{aligned} K_I &= \sigma_{\max}^{mp.} \sqrt{\pi l \cdot (1 - \nu^2)} \cdot f_{IK} = \\ &= 211,1 \sqrt{3,14 \cdot 20 \cdot 10^{-3} (1 - 0,26^2)} \times \\ &\quad \times 1,04 = 53,1 \text{ МПа} \cdot \sqrt{\text{м}}. \end{aligned}$$

Безопасность не обеспечивается:  
 $K_I = 53,1 \text{ МПа}\sqrt{\text{м}} > K_{IC} = 45 \text{ МПа}\sqrt{\text{м}}$ .

Критическая длина трещины для плоского деформированного состояния (ПДС)

$$l_c = \frac{K_{IC}^2}{\pi(\sigma_{\max}^{mp.})^2(1-\nu^2)f_{IK}^2} =$$

$$= \frac{45^2}{3,14 \cdot 211,1^2 \cdot (1-0,26^2) \cdot 1,04^2} =$$

$$= 0,0144 \text{ м.}$$

Выявленная трещина (для ПДС) является опасной, т. к. ее длина превышает критическую длину:  $l = 0,02 \text{ м} > l_c = 0,0144 \text{ м}$ .

Уточним величины КИН и критической длины трещины с учетом существования зоны пластических деформаций в вершине трещины (по величине  $l_{эфф.}$ ).

Безопасность эксплуатации балки определяем по коэффициенту интенсивности напряжений, сравнивая его значение с  $K_{IC}$  материала при заданной температуре. Коэффициент интенсивности напряжений  $K_I$  определяем по эффективной длине трещины  $l_{эфф.}$ :

$$l_{эфф.} = l \left( 1 + 0,5 \left( \frac{\sigma_{\max}^{mp.}}{\sigma_{0,2}} \right)^2 \right) =$$

$$= 20 \cdot 10^{-3} \left( 1 + 0,5 \left( \frac{211,1}{320} \right)^2 \right) =$$

$$= 0,0244 \text{ м.}$$

В случае плоского деформированного состояния, с учетом существования  $l_{эфф.}$

$$K_I = \sigma_{\max}^{mp.} \sqrt{\pi l_{эфф.} \cdot (1-\nu^2)} \cdot f_{IK} =$$

$$= 211,1 \sqrt{3,14 \cdot 0,0244 (1-0,26^2)} \times$$

$$\times 1,04 = 58,7 \text{ МПа}\sqrt{\text{м}}$$

Коэффициент интенсивности напряжений значительно превышает его критическое значение:  $K_I \gg K_{IC}$ . Расчет показывает, что потенциально возможно разрушение балки с выявленной трещиной.

Прежде чем окончательно установить уровень опасности трещины при эксплуатации балки, необходимо разобраться в том, по какой причине появилась трещина, как она выросла до значения  $l_{эфф.}$ , не продолжится ли ее рост из-за усталости или коррозии и как скоро длина трещины может достигнуть критических размеров.

2.2. Выясняем, насколько будет опасна трещина при понижении температуры до  $T = -20 \text{ }^\circ\text{C}$ . При понижении температуры разрушение также развивается по квазихрупкому механизму.

Величину поправочной функции  $f_{IK}$  определили ранее с учетом отношения  $\lambda = l / B$ .

По данным табл. 1 определяем:

– критический коэффициент вязкости разрушения  $K_{IC}$  для стали 15ХСНД, при температуре минус  $20 \text{ }^\circ\text{C}$   $K_{IC} = 59 \text{ МПа}\sqrt{\text{м}}$ ;

– условный предел текучести  $\sigma_{0,2}$ , при этой же температуре  $\sigma_{0,2} = 340 \text{ МПа}$ .

Расчеты проводим по аналогии с п. 2.1.

Проверяем, какое из условий (ПНС (плоское напряженное состояние) или ПДС) будет выполняться:

$$\left( \frac{K_{IC}}{\sigma_{0,2}} \right)^2 = \left( \frac{59}{340} \right)^2 =$$

$$= 0,0301 \text{ м} > t = 0,02 \text{ м.}$$

Следовательно, вершина трещины находится в условиях ПНС.

По отношению напряжений определяем вид разрушения:

$$\frac{\sigma_{\max}^{mp.}}{\sigma_{0,2}} = \frac{211,1}{340} = 0,62 < 0,70.$$

Разрушение хрупкое, используем формулу Гриффитса для ПНС без учета длины зоны пластического деформирования:

$$K_I = \sigma_{\max}^{mp} \cdot \sqrt{\pi l} \cdot f_{IK} = 211,1 \times \\ \times \sqrt{3,14 \cdot 20 \cdot 10^{-3}} \cdot 1,04 = 55,0 \text{ МПа}\sqrt{\text{м}};$$

$$l_C = \frac{K_{IC}^2}{\pi (\sigma_{\max}^{mp})^2 f_{IK}^2} = \\ = \frac{59^2}{3,14 \cdot 211,1^2 \cdot 1,04^2} = 0,0239 \text{ м.}$$

Эксплуатация балки является опасной, т. к. значения КИН и длины трещины достаточно близки к их критическим значениям:

$$K_I = 55,0 \text{ МПа}\sqrt{\text{м}} < K_{IC} = 59 \text{ МПа}\sqrt{\text{м}};$$

$$l = 0,02 \text{ м} < l_C = 0,0239 \text{ м.}$$

При учете длины зоны пластического деформирования

$$l_{эфф.} = l \left( 1 + 0,5 \left( \frac{\sigma_{\max}^{mp}}{\sigma_{0,2}} \right)^2 \right) = \\ = 20 \cdot 10^{-3} \left( 1 + 0,5 \left( \frac{211,1}{340} \right)^2 \right) = 0,0238 \text{ м};$$

$$K_I = \sigma_{\max}^{mp} \cdot \sqrt{\pi l_{эфф.}} \cdot f_{IK} = \\ = 211,1 \sqrt{3,14 \cdot 0,0238} \cdot 1,04 = \\ = 60,0 \text{ МПа}\sqrt{\text{м}}.$$

В этом случае эксплуатация балки с трещиной заданного размера является еще более опасной.

3. На основе метода конечных элементов, реализованного в пакете прикладных программ SolidWorks, выполнен численный анализ напряженно-деформированного состояния балки с трещиной [12]. Конечно-элементная модель балки показана на рис. 3.

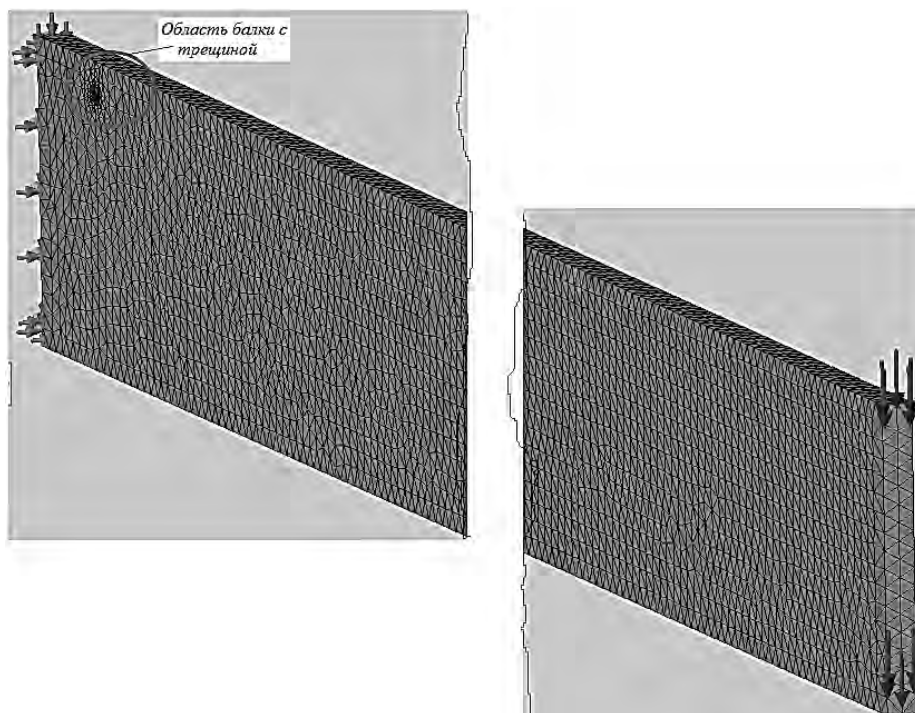


Рис. 3. Конечно-элементная модель консольной балки с трещиной

При формировании модели использовалась процедура формирования конечно-элементной сетки под управлением с целью измельчения ее в области расположения трещины, поскольку в данной зоне имеются значительные градиенты напряжений (рис. 4).

Результаты расчета напряженно-деформированного состояния данной балки приведены на рис. 5.

Величина напряжений в вершине трещины более 200 МПа (рис. 6), что соответствует результатам теоретических расчетов.

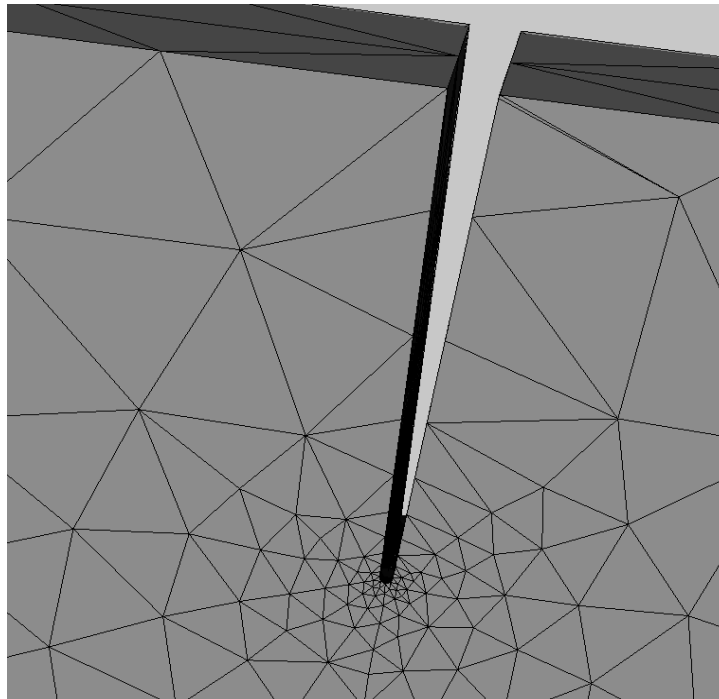


Рис. 4. Конечно-элементная сетка в области балки с трещиной

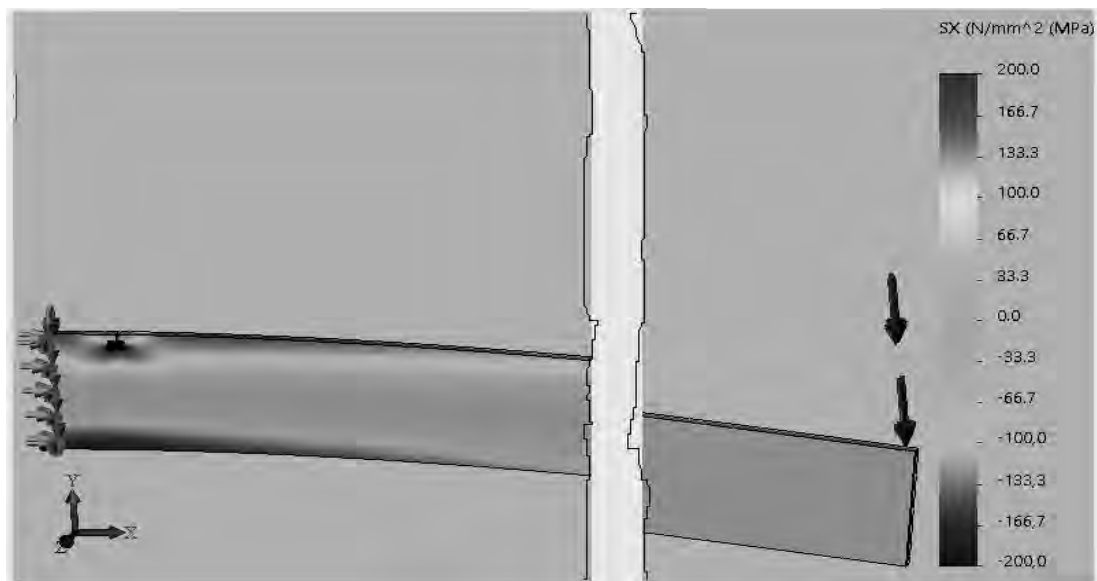


Рис. 5. Эпюра распределения напряжений, перпендикулярных к поперечному сечению балки с трещиной

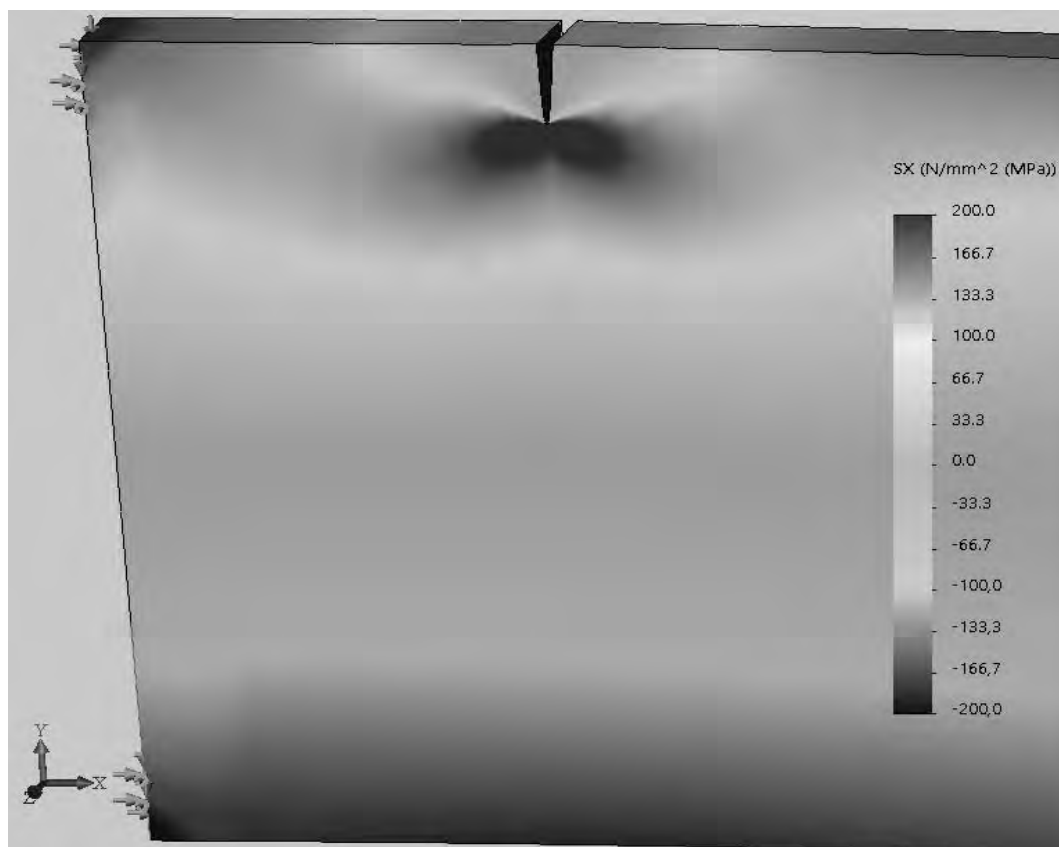


Рис. 6. Распределение напряжений в вершине трещины

### Выводы

При отсутствии трещины для заданных механических свойств стали при температуре эксплуатации  $T = +20\text{ }^{\circ}\text{C}$  и величине допускаемого напряжения стали  $[\sigma] = 250\text{ МПа}$  исследуемая балка имеет достаточный запас прочности.

При положительной температуре  $T = +20\text{ }^{\circ}\text{C}$  в вершине трещины реализуется ПДС. Безопасность балки не обеспечивается, т. к. КИН составляет  $K_I = 53,1\text{ МПа}\sqrt{\text{м}}$  при его критическом значении  $K_{IC} = 45\text{ МПа}\sqrt{\text{м}}$ . Выявленная трещина (для ПДС в вершине трещины) является опасной, т. к. ее длина  $l = 0,02\text{ м}$  превышает критическую длину  $l_c = 0,0144\text{ м}$ . Коэффициент интенсивности напряжений значительно превышает его критическое значение. Потенциально возможно разрушение бал-

ки с выявленной трещиной.

При понижении температуры до  $T = -20\text{ }^{\circ}\text{C}$  разрушение развивается по квазихрупкому механизму, вершина трещины находится в условиях ПНС. Эксплуатация балки является опасной, т. к. значения КИН и длины трещины достаточно близки к их критическим значениям:  $K_I = 55,0\text{ МПа}\sqrt{\text{м}} < K_{IC} = 59\text{ МПа}\sqrt{\text{м}}$ ;  $l = 0,02\text{ м} < l_c = 0,0239\text{ м}$ . С учетом длины зоны пластического деформирования эксплуатация балки с трещиной заданного размера является еще более опасной:  $K_I = 60\text{ МПа}\sqrt{\text{м}}$ ,  $l_{эфф.} = 0,0238\text{ м}$ .

Численный анализ напряженно-деформированного состояния балки с трещиной в среде SolidWorks показал, что величина напряжений в вершине трещины соответствует результатам теоретических расчетов.



СПИСОК ИСПОЛЬЗОВАННОЙ ЛИТЕРАТУРЫ

1. **Кузменко, И. М.** Механика разрушения: учебное пособие / И. М. Кузменко. – Могилев: МГТУ, 2001. – 172 с.
2. **Партон, В. З.** Механика упругопластического разрушения. Основы механики разрушения: учебное пособие / В. З. Партон, Е. М. Морозов. – 3-е изд., испр. – Москва: ЛКИ, 2008. – 352 с.
3. **Работнов, Ю. Н.** Введение в механику разрушения / Ю. Н. Работнов. – Москва: Наука, 1987. – 80 с.
4. **Пестриков, В. М.** Механика разрушения твердых тел. Курс лекций / В. М. Пестриков, Е. М. Морозов. – Санкт-Петербург: БХВ-Петербург, 2002. – 320 с.
5. Механика разрушения и прочность материалов: справочное пособие: в 4 т. / Под общ. ред. В. В. Панасюка. – Киев: Наукова думка, 1990. – Т. 3. – 436 с.
6. **Пестриков, В. М.** Механика разрушения на базе компьютерных технологий. Практикум / В. М. Пестриков, Е. М. Морозов. – Санкт-Петербург: БХВ-Петербург, 2007. – 464 с.
7. **Александров, А. В.** Сопротивление материалов: учебник / А. В. Александров, В. Д. Потапов, Б. П. Державин. – 2-е изд., испр. – Москва: Высшая школа, 2000. – 560 с.
8. **Окопный, Ю. А.** Механика материалов и конструкций: учебник / Ю. А. Окопный, В. П. Радин, В. П. Чирков. – 2-е изд., доп. – Москва: Машиностроение, 2002. – 436 с.
9. **Писаренко, Г. С.** Справочник по сопротивлению материалов / Г. С. Писаренко, Ф. П. Яковлев, В. В. Матвеев. – 5-е изд., перераб. и доп. – Киев: Дельта, 2008. – 816 с.
10. **Подскребко, М. Д.** Сопротивление материалов: учебник / М. Д. Подскребко. – Минск: Высшая школа, 2007. – 797 с.
11. **Старовойтов, Э. И.** Сопротивление материалов: учебник / Э. И. Старовойтов. – Москва: Физматлит, 2008. – 384 с.
12. **Кузменко, И. М.** Оценка трещиностойкости элементов конструкций, имеющих дефекты в виде трещин / И. М. Кузменко, В. А. Попковский, А. Д. Крижевский // *Материалы, оборудование и ресурсосберегающие технологии: материалы Междунар. науч.-техн. конф.* – Могилев: Белорус.-Рос. ун-т, 2023. – С. 139–140.

*Статья сдана в редакцию 9 июня 2023 года*

Контакты:

kuzmenko\_im43@mail.ru (Кузменко Игорь Михайлович);  
viktorpopkovski@mail.ru (Попковский Виктор Александрович);  
kararkas@mail.ru (Крижевский Андрей Дмитриевич).

***I. M. KUZMENKO, V. A. POPKOVSKY, A. D. KRIZHEVSKY***

**FRACTURE RESISTANCE OF THE CANTILEVER BEAM WITH AN EDGE CRACK ON THE SURFACE**

**Abstract**

An analysis of fracture resistance of a cantilever beam with a crack located near the embedment is presented. Based on the methods of fracture mechanics, critical parameters characterizing features of the beam fracture at different temperatures are determined.

**Keywords:**

crack, critical stresses, stress intensity factor, effective crack length, finite element model.

**For citation:**

Kuzmenko, I. M. Fracture resistance of the cantilever beam with an edge crack on the surface / I. M. Kuzmenko, V. A. Popkovsky, A. D. Krizhevsky // *Belarusian-Russian University Bulletin.* – 2023. – № 3 (80). – P. 26–34.